

بررسی اثر انواع اتصال‌های گیردار در رفتار قاب خمی فولادی تحت خرابی پیش‌رونده

مهندسي عممان شرقي، (اصستان ۱۳۹۸)، دورى ۲، شماره ۱، ص. ۱۰۰-۱۰۵

غلاموضا نوري * (استاد بار)

امير قنوي رستگار (دانشجوی کارشناسی ارشد)

ابوالفضل یوسفپور اوندري (دانشجوی دکتری)

دانشکده مهندسي، دانشگاه خوارزمي

یکی از مکانیسم‌های خرابی که در دهه‌های اخیر توجه به آن افزایش پیدا کرده است، خرابی پیش‌رونده است. وقوع حوادث مختلفی، از قبیل: انفجار، آتش‌سوزی، برخورد و ساخته نقلیه، خطأ در محاسبات یا ساخت و ... می‌توانند باعث ایجاد خرابی موضعی در سازه شوند و در برخی موارد گسترش آن‌ها می‌تواند منجر به تخریب کل سازه و یا بخش بزرگی از آن شود، که پدیده‌ی مذکور را خرابی پیش‌رونده می‌نامند. در نوشتار حاضر، به بررسی رفتار قاب خمی فلزی با اتصال گیردار با مقطع کاوش‌یافته، ورق کتاری و ورق زیر سری و روسربی با جان تقویت شده است اثر خرابی پیش‌رونده پرداخته شده است. جهت بررسی پتانسیل خرابی پیش‌رونده از ساختمان‌های ۶، ۹ و ۱۲ طبقه (بیانگر ساختمان‌های کوتاه‌مرتبه، میان‌مرتبه و بلند‌مرتبه) با سیستم قاب خمی فلزی متوسط استفاده شده است. آنالیزهای روش مسیر جایگزین خرابی پیش‌رونده‌ی انجام گرفته نشان می‌دهد که اتصال با مقطع کاوش‌یافته، مقاومت بالاتری نسبت به اتصال با ورق کتاری و اتصال گیردار مستقیماً تقویت شده‌ی جوشی دارد، به‌گونه‌ی که مقدار جابه‌جایی آن تا ۲۰٪ کمتر است. از مجموع ۸۱ مدل تحلیل شده، در ۱۹ مدل شکست سازه اتفاق افتاده است، که در حدود ۳۰٪ آن‌ها مربوط به مدل‌های با اتصال کاوش‌یافته، ۳۳٪ مربوط به مدل‌های با اتصال با ورق کتاری و ۳۷٪ شامل مدل‌های با اتصال گیردار مستقیماً تقویت شده‌ی جوشی هستند.

r.nouri@knu.ac.ir
amir.rastegar63@gmail.com
a.yousefpoor70@gmail.com

وازگان کلیدی: خرابی پیش‌رونده، اتصال‌های گیردار، اتصال مقطع کاوش‌یافته، اتصال گیردار جوشی، اتصال با ورق کتاری.

۱. مقدمه

یکی از مکانیسم‌هایی که در دهه‌های اخیر توجه به آن افزایش پیدا کرده است، خرابی پیش‌رونده است. وقوع حوادث مختلفی، از قبیل: انفجار، آتش‌سوزی، برخورد و ساخته نقلیه، خطأ در محاسبات و ساخت و ... می‌توانند باعث ایجاد خرابی موضعی در سازه شوند و در برخی موارد گسترش آن‌ها می‌تواند منجر به تخریب کل سازه و یا بخش بزرگی از آن شود، که پدیده‌ی مذکور را خرابی پیش‌رونده می‌نامند. در نوشتار حاضر، به بررسی رفتار قاب خمی فلزی با اتصال گیردار با مقطع کاوش‌یافته، ورق کتاری و ورق زیر سری و روسربی با جان تقویت شده است اثر خرابی پیش‌رونده پرداخته شده است. جهت بررسی پتانسیل خرابی پیش‌رونده از ساختمان‌های ۶، ۹ و ۱۲ طبقه (بیانگر ساختمان‌های کوتاه‌مرتبه، میان‌مرتبه و بلند‌مرتبه) با سیستم قاب خمی فلزی متوسط استفاده شده است. آنالیزهای روش مسیر جایگزین خرابی پیش‌رونده‌ی انجام گرفته نشان می‌دهد که اتصال با مقطع کاوش‌یافته، مقاومت بالاتری نسبت به اتصال با ورق کتاری و اتصال گیردار مستقیماً تقویت شده‌ی جوشی دارد، به‌گونه‌ی که مقدار جابه‌جایی آن تا ۲۰٪ کمتر است. از مجموع ۸۱ مدل تحلیل شده، در ۱۹ مدل شکست سازه اتفاق افتاده است، که در حدود ۳۰٪ آن‌ها مربوط به مدل‌های با اتصال کاوش‌یافته، ۳۳٪ مربوط به مدل‌های با اتصال با ورق کتاری و ۳۷٪ شامل مدل‌های با اتصال گیردار مستقیماً تقویت شده‌ی جوشی هستند.

* نویسنده مسئول

تاریخ: دریافت ۱۸/۱۰/۱۳۹۶، اصلاحیه ۱/۱۴، ۱۳۹۷/۱/۲۸، پذیرش ۱۳۹۷/۱/۲۸

DOI:10.24200/J30.2018.5613.2273

و التاویل (۲۰۰۷) نشان داد که شکل پذیری و مقاومت اتصال با افزایش عمق تیر و افزایش نسبت مقاومت جاری شدن به مقاومت نهایی به شدت تحت تأثیر قرار می‌گیرد. همچنین جزئیات اتصال بال تیر به ستون نقش مؤثری دارد.^[۱۲]

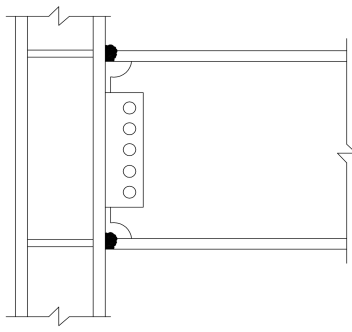
فریدمه ر و همکاران (۲۰۱۶) نیز عملکرد یک اتصال جدید فولادی را در برابر بارگذاری لرزه‌بی و خرابی پیش‌روندۀ به صورت تجربی و عددی بررسی کردند و نتیجه گرفتند که اتصال جدید پیشنهاد شده قادر به دست‌یابی به ظرفیت چرخشی مناسب و توسعه‌ی ظرفیت کامل کشسان تیر اتصال است. علاوه بر این، رفتار عالی چرخه‌ی توسط اتصال پیشنهادی موجب افزایش زاویه ی چرخش می‌شود.^[۱۳]

همچنین مقاومت دو نوع اتصال خمشی استاندارد و اتصال تقویت شده با ورق جانبی در برابر خرابی پیش‌روندۀ تحت آزمایش انفجاری توسط کارنز (۲۰۰۶) و کارنز و همکاران (۲۰۰۷) ارزیابی شده است.^[۱۴] و نتایج مطالعات سان و همکاران (۲۰۱۲) نیز نشان داد که باید به نیروی محوری در طراحی اتصال‌های سازه‌های مقاوم در مقابل خرابی پیش‌روندۀ توجه شود و با استفاده از سیستم‌هایی که سختی جانبی سازه را افزایش می‌دهند، می‌توان ظرفیت باربری محوری اتصال‌ها را افزایش داد.^[۱۵]

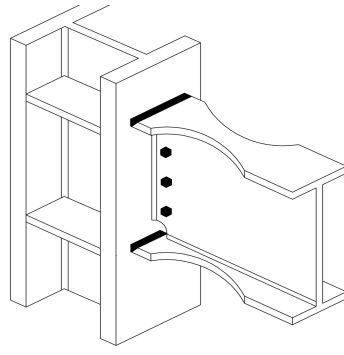
برای تحلیل و ارزیابی خرابی پیش‌روندۀ سازه‌ها نیز روش‌های مختلفی توسط آینه‌های و برخی پژوهشگران ارائه شده است که طی سال‌های گذشته برای نزدیک شدن نتایج روش‌های مذکور به واقعیت پژوهش‌های مختلفی انجام شده است. برون و رایمن (۲۰۱۰) در ارزیابی مسیر بار جایگزین در طراحی مقاوم ستون فلزی در مقابل خرابی پیش‌روندۀ نتیجه گرفتند که روش مسیر بار جایگزین برای حذف یک ستون با جواب منطقی و برای تخریب بیش از یک ستون، نتایج دقیقی از روش مذکور ارائه نمی‌دهد.^[۱۶] در بررسی روش‌های موجود برای ارزیابی خرابی پیش‌روندۀ ساختمان‌های فولادی تحت آنالیزهای استاتیکی خطی و دینامیکی غیرخطی نشان داده شده است که جایه‌جایی‌های قائم به دست آمده از آنالیز دینامیکی تقریباً ۲ تا ۳ برابر جایه‌جایی‌های حاصل از آنالیز استاتیکی است. لذا توصیه می‌شود برای بررسی رفتار سازه در چنین مواردی، آنالیز دینامیکی انجام شود.^[۱۷] البته قابل توجه است که این نتایج مربوط به ویرایش قابل GSA است که ضریب افزایش دینامیکی در برخی موارد صحیح نبوده است. تحلیل غیرخطی در قضاؤت رفتار سازه در هنگام حذف یک عضو اصلی بهتر از تحلیل خطی است. در رفتار غیرکشسان، نتایج با دقت بالایی نحوه خرابی را تاخیین می‌زنند و بروسه‌ی خرابی مشخص و احتمال فروپاشی کامل و ناقص دست‌یافتنی است.^[۱۸] البته روش‌های دیگری نیز در سال‌های اخیر توسط برخی پژوهشگران ارائه شده است. روش تحلیل استاتیکی غیرخطی خرابی پیش‌روندۀ مبتنی بر ارزی با بررسی وضعیت توازن ارزی بین کار خارجی انجام شده توسط بارهای گرانشی نامتعادل و ارزی داخلی، که در قاب تغییرشکل یافته‌شود یا از بین می‌رود، مشتق می‌شود.^[۱۹] در مقایسه با تحلیل دینامیکی غیرخطی پایین فشردنی مستقیم، رویکرد ذکر شده با تحلیل استاتیکی غیرخطی، یک روش ساده و مؤثر است، زیرا مقدار محاسبات را بهشت کاهش می‌دهد.^[۲۰] بررسی اثر صلبیت دال‌های بتنی در جلوگیری از خرابی پیش‌روندۀ سازه‌های فولادی نشان داد که حذف ستون‌های مختلف همیشه منجر به ایجاد مفصل خمیری نمی‌شود. تشکیل شدن مفصل خمیری به شرایط حذف ستون‌های مختلف وابسته است و ترتیب و توالی حذف ستون‌های مختلف می‌تواند در تشکیل مفصل خمیری تأثیرگذار باشد.^[۲۱] در پژوهشی در سال ۲۰۱۷، در تحلیل حذف ترتیبی چند ستون نشان داده شده است که فاصله‌ی زمانی بین حذف ستون‌ها به طور قابل توجهی در بارگذاری بازتوزیع سه‌بعدی بارهای گرانشی تأثیر می‌گذارد و در نمونه‌های مورد بررسی، باید به آسیب شدید اولیه توجه کرد.^[۲۲] در نوشتار حاضر

توجه است.^[۲۳] عملکرد سازه‌ها در برابر خرابی پیش‌روندۀ اساساً وابسته به موقعیت حذف ستون و نوع سیستم باربر جانبی است. براساس مطالعه‌ی پیشین در بین سیستم‌های سازه‌بی از نوع مصالح فولادی، سیستم قاب خمشی ویژه به همراه مهاربند برون‌محور، برتری دارد.^[۲۴] همچنین صغیراً غایی و ساسانی (۲۰۱۴) بیان کردند که بازتوزیع بارها ناشی از آسیب موضعی تحمل شده به سازه بستگی به مقاومت، پیوستگی، نامعینی، و ظرفیت تغییرشکل و استهلاک انرژی سازه دارد.^[۲۵] عباس‌نیا و یوسف پور (۲۰۱۶) نیز نشان دادند که ساختمان‌های بتنی با شکل پذیری زیاد علی‌رغم عملکرد بسیار مناسب لرزه‌بی در پدیده‌ی خرابی پیش‌روندۀ نسبت به سازه‌های با شکل پذیری کمتر ضعیف هستند.^[۲۶] همچنین پاچتاری و همکاران (۲۰۱۰) به منظور بررسی خرابی پیش‌روندۀ با مطالعه بر روی سازه‌ی قاب خمشی متوسط و براساس معیارهای پذیرش دستورالعمل UFC ۴-۰ ۲۳-۰^۳، اثر حذف برخی از ستون‌های خارجی و گوشۀ را به مسویله‌ی روش‌های غیرخطی در تام طبقات ارزیابی و مشاهده کردند که سازه‌ی موردنظر معيار پذیرش را در آنالیز دینامیکی غیرخطی برآورده می‌کند.^[۲۷] براساس مطالعات ونگ و همکاران (۲۰۱۷) نیز در قاب‌های خمشی فولادی با افزایش طول دهانه، پتانسیل خرابی پیش‌روندۀ به دلیل اینکه تأثیر بارشلی با افزایش طول دهانه با توان دوم آن رابطه‌ی مستقیم دارد، تشدید می‌شود.^[۲۸]

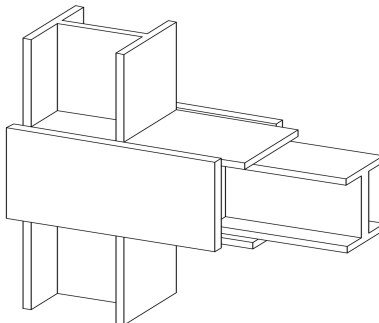
در صنعت ساختمان، سازه‌ها به روش‌ها و شکل‌های گوناگونی ساخته می‌شوند، که هر کدام نقاط قوت و ضعفی دارند. در راستای روش‌نی نقاط قوت و ضعف ذکر شده در زمینه‌ی خرابی پیش‌روندۀ در ساختمان‌های فولادی با سیستم‌های مختلف سازه‌بی نیز مطالعاتی توسط پژوهشگران مختلف انجام شده است. جیانگ و همکاران (۲۰۱۵) به بررسی عملکرد سیستم قاب خمشی فولادی در مقابل خرابی پیش‌روندۀ پراختند و عنوان کردند که در سناریوهای مورد بررسی، سیستم قاب خمشی جذب انرژی بیشتری نسبت به سیستم مهاربندی دارد و سیستم مهاربندی همگرا برخلاف قاب خمشی، در حذف ستون طبقه‌ی آخر عملکرد مطلوبی دارد، ولی در حذف ستون طبقه‌ی اول دچار ضعف است.^[۲۹] در پژوهشی در سال ۲۰۱۵ نشان داده شده است که عملکرد اتصال در حالت خرابی پیش‌روندۀ در مقایسه با بارگذاری عادی به طور قابل توجهی متفاوت است و اتصال‌ها علاوه بر لنگر خمشی تحت تأثیر نیروی محوری قرار می‌گیرند که مکانیسم عملکردی مهمی همانند قوس فشاری و انحنای کششی را بسیج می‌کشند و نیز مدل‌های رفتاری برای اتصال فولادی و اتصال مرکب ارائه شده‌اند که شامل روابط صریحی برای پیش‌بینی تغییرشکل اتصال تحت خمش و نیروی محوری در مراحل خرابی پیش‌روندۀ هستند.^[۳۰] برای تحلیل تخریب قاب‌های فولادی، خاندلوال و همکاران (۲۰۰۸) مدل‌های ماکرو برای نمایش رفتار اتصال‌های فولادی متداول ارائه کردند که در آن‌ها از سه نوع اتصال: مقطع کاهش یافته برای قاب خمشی ویژه، فلنجی برای قاب خمشی متوسط و ساده استفاده شده است. همچنین با استفاده از تحلیل مدل دو بعدی یک ساختمان فلزی ۱۰ طبقه با قاب خمشی ویژه، متوسط و معمولی نشان دادند که قاب خمشی فلزی ویژه که برای نیروهای لرزه‌بی بالاتری نسبت به قاب خمشی فلزی معمولی طراحی شده است، سطح آسیب‌پذیری کمتری در خرابی پیش‌روندۀ دارد. تقاضای شکل پذیری در هر دو سازه‌ی قاب خمشی فلزی ویژه و قاب خمشی فلزی معمولی در اثر حذف ستون نسبتاً کوچک است؛ بنابراین استفاده از جزئیات اجرایی جهت تأمین شکل پذیری با توجه به هزینه‌ی بالا، به بهبود رفتار سازه در مقابله با خرابی پیش‌روندۀ کمک نمی‌کند. استفاده از اتصال ساده نیز که بارهای ثقلی را انتقال می‌دهد، در مقابله با خرابی پیش‌روندۀ توصیه نمی‌شود؛ زیرا توانایی لازم جهت بازتوزیع بارها و ایجاد رفتار زنجیره‌بی در اتصال ساده وجود ندارد.^[۳۱] همچنین نتایج مطالعات خاندلوال



شکل ۲. اتصال گیردار مستقیم تقویت شده جوشی همراه با جان پیچ شده **WUF-B**.



شکل ۱. اتصال با مقطع کاهش‌یافته‌ی **RBS**.



شکل ۳. اتصال گیردار با ورق کناری **SP**.

خشن از تیر به ستون توسط ورق‌های رابط انجام می‌گیرد. برش‌های تیر از طریق ورق‌های برشی قائم بین جان تیر و صفحات کناری منتقل می‌شوند. همچنین بین جان ستون و صفحات کناری، ورق‌های پیوستگی قرار می‌گیرند. کلیه‌ی اجراء اتصال توسط جوش گوش به یکدیگر متصل می‌شوند. در شکل ۳، نمای کلی از اتصال **SP** ارائه شده است.^[۲۷]

۲. صحبت‌سنگی مدل سازی

برای صحبت‌سنگی مدل سازی نرم افزاری از نتایج سانگ و سزن (۲۰۱۳) که به بررسی خرابی پیش‌روندۀ در ساختمان اوهاوی اینیون پرداخته بودند، استفاده شده است.^[۲۸] در پژوهۀ مذکور، حس‌گرهایی جهت اندازه‌گیری جابه‌جایی قائم گره‌های بالای ستون در محل‌های مناسب ساختمان نصب شده است. پس از آن با حذف ستون از ساختمان واقعی، نتایج بدست آمده از ساختمان اصلی با نتایج تحلیل دو بعدی و سه بعدی در برنامه‌ی اجراء محدود SAP^{۲۰۰۰}^[۲۹] مقایسه و نشان داده شد که جابه‌جایی قائم بالای ستون حذف شده در ساختمان واقعی و مدل نرم افزاری بر یکدیگر منطبق هستند. در نوشتار حاضر، جهت صحبت‌سنگی از نتایج مطالعه‌ی سانگ و سزن (۲۰۱۳) در حالت تحلیل تاریخچه‌ی زمانی غیرخطی به روشن انتگرال‌گیری مستقیم استفاده شده است. مقاييس خميري تير و ستون براساس آين نامه FEMA ۳۵۶ تعیین شده است.^[۳۰]

مقاييس نمودار جابه‌جایي - زمان برای يكى از گره‌ها در شکل ۴ مشاهده می‌شود. همچنین بيشينه‌ی جابه‌جایي و جابه‌جایي ماندگار قائم گره‌های محذوف در مدل صحبت‌سنگي و مدل سانگ و سزن (۲۰۱۳) در جدول ۱ ارائه شده است.^[۲۸] علت وجود اختلاف را می‌توان استفاده از نسخه‌ی بالاتر نرم افزار و تفاوت‌های جزئی بارگذاري به دليل عدم دسترسی به بازشوهاي دقیق دیوارها به دليل ناخوانا بودن

به بررسی رفتار قاب خمشی فازی با اتصال گیردار با مقطع کاهش‌یافته، ورق کناری و ورق زیرسری و روسری با جان تقویت شده تحت اثر خرابی پیش‌روندۀ پرداخته شده است. به این منظور از تحلیل دینامیکی غیرخطی برای بررسی سازه‌ها استفاده شده است که در آن تحلیل حذف ترتیبی چند ستون نیز نجات شده است.

۱.۱. انواع اتصال‌های گیردار

۱.۱.۱. اتصال با مقطع کاهش‌یافته (RBS)

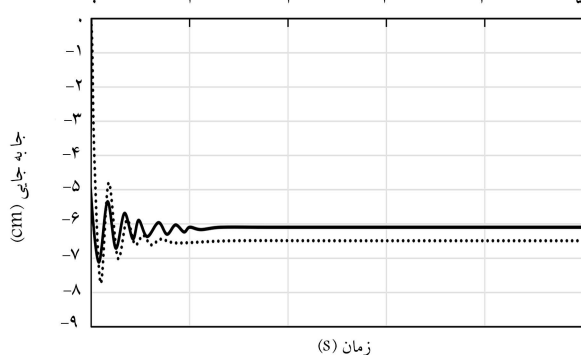
پس از زلزله‌ی نورث‌ریچ کالیفرنیا، مطالعات گستردۀ‌ی برای بهبود عملکرد لرزه‌ی بی اتصال‌ها و کاهش احتمال بروز شکست‌های ترد در اتصال‌های تیر به ستون صورت پذیرفت. اتصال تیر با مقطع کاهش‌یافته (RBS)^۲، به عنوان یک راه حل مناسب برای ایده‌ی تشکیل مفصل خمیری در ناحیه‌ی دور از وجه ستون و به عنوان یک اتصال تأیید صلاحیت شده معرفی شد. مطالعات گستردۀ‌ی بر روی عملکرد اتصال RBS صورت گرفت، اما در تمامی مطالعات صورت گرفته از رفتار نیمه‌صلب اتصال RBS صرف‌نظر شده است. در مناطق زلزله‌خیز، وجود اتصال‌های نیمه‌گیردار بدون توجه به میران گیرداری آن‌ها می‌تواند سبب افزایش تغییرمکان جانی شود که کترل آن فقط با تعیین میران گیرداری اتصال و به کاربردن آن در تحلیل اولیه‌ی سازه امکان‌پذیر است. در شکل ۱، نمای کلی از اتصال RBS ارائه شده است.^[۲۶-۲۴]

۱.۱.۲. اتصال گیردار مستقیم تقویت شده جوشی با جان پیچ شده (WUF-B)

در اتصال WUF-B^۳، امکان دوران و چرخش غیرکشسان از طریق تسییم تیر در ناحیه‌ی مجاور بر ستون وجود دارد. به منظور کنترل گسیختگی اتصال، تمهداتی در جوش‌های اتصال بال‌های تیر به ستون، جوش‌های اتصال جان تیر به بال ستون و نیز شکل سوراخ‌های دسترسی جوش ایجاد شده است. با رعایت ضوابط آینه‌ی، مجموعه‌ی اتصال‌های خمیری (WUF-B) شرایط لازم را برای کاربرد در قاب‌های خمیری ویژه (SMF) و متوسط (IMF) خواهند داشت. در شکل ۲، نمای کلی از اتصال WUF-B ارائه شده است.^[۲۶-۲۴]

۱.۱.۳. اتصال گیردار با ورق کناری (SP)

اتصال با ورق کناری SP^۴ بعد از زلزله‌ی نورث‌ریچ پیشنهاد شده است. در سال ۱۹۹۵، طراحی اولیه و آزمایش بارگذاری سیکلی در مقایس واقعی بر روی اتصال یک‌طرفه SP و در سال ۱۹۹۶ عملکرد دومحوره‌ی اتصال SP مطالعه و بررسی شده است و در سال ۲۰۰۰ اتصال SP در آینه‌های FEMA ۳۵۰ و FEMA ۳۵۱ جهت استفاده در ساختمان‌های جدید معرفی شده است در اتصال SP، بین تیر و ستون جدایی وجود دارد و صفحات کناری تمام عمق در طرفین ستون قرار می‌گیرند. انتقال



شکل ۴. مقایسه‌ی نمودارهای جابه‌جایی بالای ستون حذف شده نوشتار حاضر با مدل صحبت‌سنگی در نوشتار سانگ و سزن (۲۰۱۳)، [۲۸] در گره ۱.

جدول ۱. مقایسه‌ی نتایج مدل صحبت‌سنگی و مدل سانگ و سزن (۲۰۱۳)، [۲۸] و درصد اختلاف آن‌ها.

		جابه‌جایی (cm)			
		گره ۱	گره ۲	گره ۳	گره ۴
سانگ و سزن (۲۰۱۳)	بیشینه	۷,۱۱	۷,۲۴	۲۰,۴۷	۱۱,۳۳
ثابت		۶,۰۵	۶,۱۲	۱۷,۹۳	۹,۹۸
		جابه‌جایی (cm)			
		گره ۱	گره ۲	گره ۳	گره ۴
مدل نوشتار حاضر	بیشینه	۷,۷۳	۷,۹۶	۲۱,۰۷	۱۱,۶۴
ثابت		۶,۴۹	۶,۳۹	۱۴,۹	۸,۹۹
درصد تفاوت نتایج					
%		گره ۱	گره ۲	گره ۳	گره ۴
بیشینه		۸,۷۲	۹,۹۴	۲,۹۳	۲,۷۴
ثابت		۷,۲۷	۴,۴۱	۱۶,۹	۹,۹۲

نقشه‌های قدیمی سازه و همچنین تقریب در قرائت داده‌ها از نمودارهای ترسیم شده در نوشتار حاضر دانست.

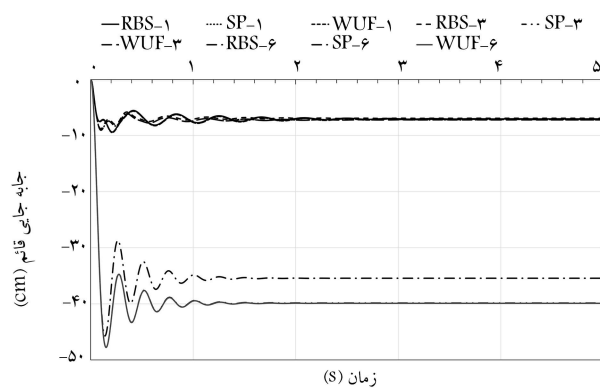
۳. روش پژوهش

جهت بررسی اثر اتصال‌های گیردار تحت اثر خرابی پیش‌روندۀ ساختمان‌های ۹, ۶ و ۱۲ طبقه با سیستم قاب خمشی فولادی طراحی و به صورت سه بعدی مدل سازی شده‌اند، چرا که مدل سه‌بعدی، پیش‌بینی بهتری از خرابی پیش‌روندۀ را در سازه در دسترس قرار می‌دهد.^[۱] سیستم ساختمانی، قاب خمشی فولادی متوسط با دهانه‌های ۵ متری و کاربری ساختمان مسکونی در نظر گرفته شده است. در جدول ۲، به فرضیات اصلی طراحی ساختمان‌ها اشاره و در شکل ۵ پلان ساختمان‌ها نشان داده شده است. طراحی سازه براساس مبحث ششم و دهم مقررات ملی و ویرایش چهارم استاندارد ۲۸۰۰ صورت گرفته است.^[۲۴-۲۶] موقعیت مفاصل خمیری مطابق دستورالعمل ۴-۰ ۲۳-۰۳ UFC در محل اتصال تیر به ستون است. شبیب قسمت سخت شدگی طبق آینه‌ی FEMA ۳۵۶ مقداری بین صفر تا ۱۰٪ لحاظ می‌شود که در مدل‌ها برای تمامی مفاصل شبیب برابر ۳٪ در نظر گرفته شده است.

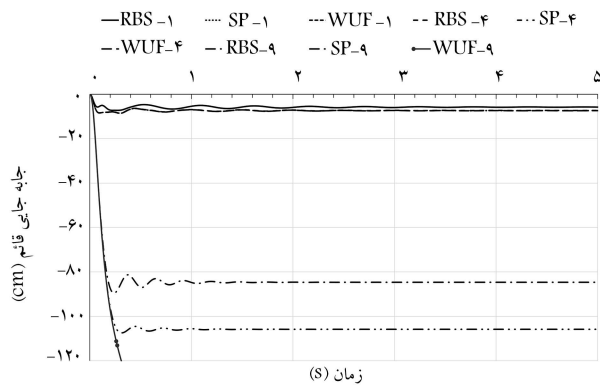
$$G_{ND} = ۱,۲D + (۰,۵Lor ۰,۲S) \quad (۱)$$

خرابی پیش‌روندۀ عموماً با حذف ناگهانی یک یا چند عضو سازه‌یی آغاز می‌شود. برای تحلیل این مسئله، ابتدا نیروی تمام اعضاء محدود با توجه به حالت اولیه از تحلیل استاتیکی خطی تعیین می‌شود. سپس سازه بدون درنظر گرفتن ستون محدود و با نیروهای آن عضو به صورت مترکز در شرایط معادل مدل سازی می‌شود. برای لحظک‌کردن ناگهانی بودن اثر حذف ستون و معادل سازی شرایط موجود از یک تابع پارگذاری بر حسب زمان مطابق شکل ۶ استفاده می‌شود. سازه باید تا لحظه‌ی t_1 پایدار باشد و نیروی عضو در لحظه‌ی t_2 به طور ناگهانی برداشته شود، تا اثر حذف ناگهانی ستون در زمانی کمتر از $۱/۰$ دوره‌ی تناوب قائم سازه صورت می‌پذیرد و زمان حذف ستون در زمانی کمتر از $۱/۱$ دوره‌ی تناوب قائم سازه صورت می‌پذیرد و نیروی های داخلی گرهی ستون محدود در بازه‌ی زمانی اشاره شده به صفر می‌رسند. در کاریه‌ی تحلیل‌ها با بررسی دوره‌ی تناوب قائم سازه‌ها، زمان حذف نیروهای داخلی در مدت $۱,۰$ ثانیه فرض شده است.

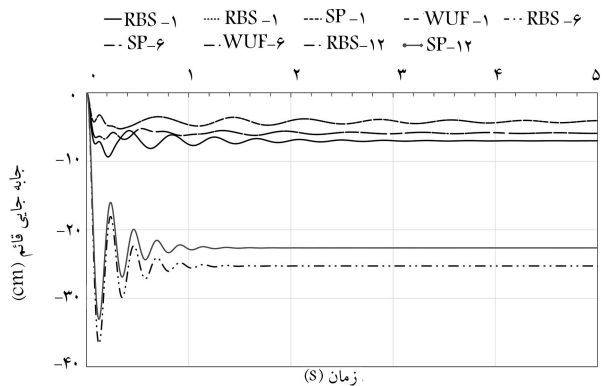
جهت بررسی پتانسیل خرابی پیش‌روندۀ در سازه‌های مورد بررسی، سیاریوهاي



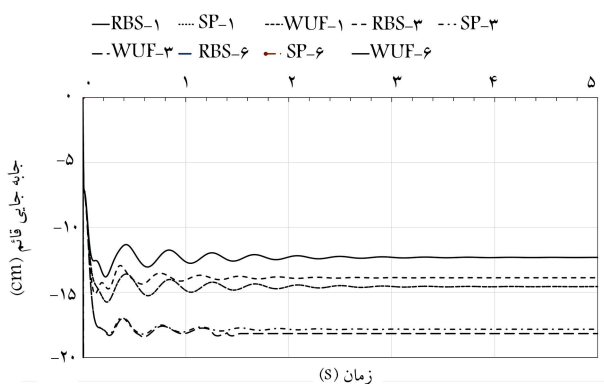
شکل ۷. جابه‌جایی قائم گره بالای ستون حذف شدهی A^۴ ساختمان‌های ۶ طبقه.



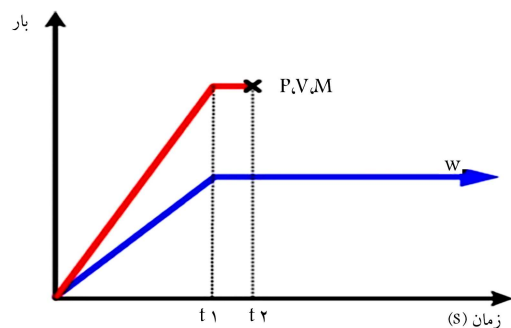
شکل ۸. جابه‌جایی قائم گره بالای ستون حذف شدهی A^۴ ساختمان‌های ۹ طبقه.



شکل ۹. جابه‌جایی قائم گره بالای ستون حذف شدهی A^۴ ساختمان‌های ۱۲ طبقه.



شکل ۱۰. جابه‌جایی قائم گره بالای ستون حذف شدهی A^۳ در ساختمان‌های ۶ طبقه.



شکل ۶. معادل‌سازی بارگذاری برای حذف ناگهانی ستون. [۳۶]

متفاوت آنالیزهای حذف ناگهانی ستون مطابق با ضوابط آیین نامه UFC در نظر گرفته شده است. محل ستون‌های محلوف با توجه به تقارن ساختمان‌ها و ضوابط آیین نامه‌های خارجی پیش‌روند، ستون گوشه‌ی A^۴ و ستون‌های کناری آن A^۳ و B^۴ (شکل ۵) در سه تراز ارتفاعی پایین، وسط و بالای سازه است. تحلیل‌های دینامیکی غیرخطی انجام شده برای بررسی سازه‌ها، شامل تحلیل حذف ترتیبی چند ستون نیز است. ترتیب حذف ستون‌ها به ترتیب: حذف ستون A^۴ در ابتدا، حذف ستون A^۳ در ادامه تحلیل غیرخطی مرحله‌ی قبل، و درنهایت حذف ستون B^۴ در ادامه تحلیل‌های قبلی است. از تحلیل دینامیکی غیرخطی حذف ستون مدل‌های مورد بررسی، نمودارهای جابه‌جایی قائم گره‌های بالای ستون‌ها در مدت زمان تحلیل به دست می‌آید. معیار عملکرد، میزان دوران مفاصل خمیری تعريف شده خواهد بود.

۴. نتایج

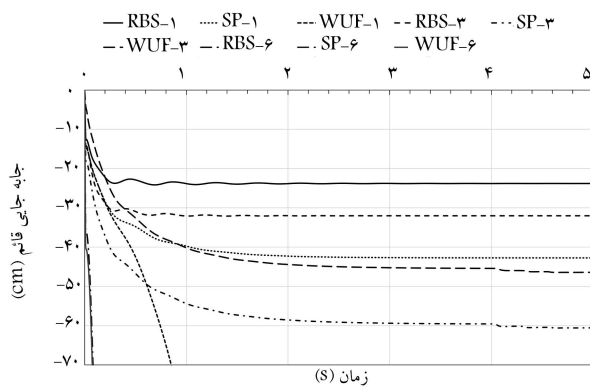
در بخش حاضر، به ارائه نتایج تحلیل‌های انجام شده پرداخته شده است. نتایج در ۳ زیربخش، شامل: نتایج حذف تک ستون گوشه‌ی A^۴، حذف دو ستون A^۴ و A^۳ و درنهایت حذف ۳ ستون A^۴، A^۳ و B^۴ ارائه می‌شوند. هر زیربخش شامل نمودارهای حالت‌های حذف ستون در ساختمان‌های ۶، ۹ و ۱۲ طبقه است. هر نمودار نیز دربردارنده نتایج حذف ستون در مدل‌های با اتصال‌های مختلف است. در کلیه نمودارها، هر منحنی با دو بخش حروفی و عدد نامگذاری شده است، که بخش اول نوع اتصال و بخش دوم یا نگر طبقه‌ی ستون محلوف است. به طور مثال RBS-۱ به معنی مدل با اتصال RBS و حذف ستون در طبقه‌ی اول است.

۱.۴. حذف تک ستون گوشه‌ی A^۴

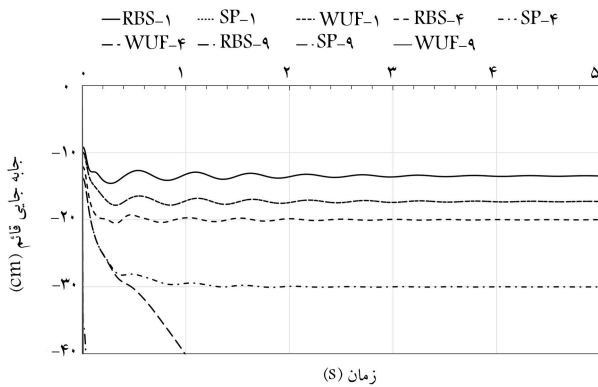
در شکل‌های ۷ الی ۹، نمودارهای جابه‌جایی قائم گره‌های بالای ستون‌ها حاصل از تحلیل دینامیکی غیرخطی حذف ستون به ترتیب برای ساختمان‌های ۶، ۹ و ۱۲ طبقه مشاهده می‌شود که مطابق آن‌ها، جابه‌جایی قائم در سازه با اتصال RBS در مقایسه با سازه‌های با اتصال SP و WUF بیشتر است. همچنین با افزایش تعداد طبقات به دلیل رفتار زنجیره‌ی سازه، تغییر شکل‌های قائم کمتری در اثر حذف ستون ایجاد شده است.

۲.۴. حذف دو ستون A^۴ و A^۳

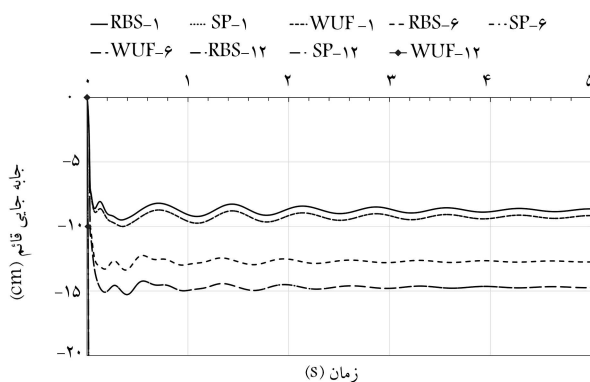
براساس شکل‌های ۱۰ الی ۱۲، از مقایسه تغییر شکل‌های بیشینه در تحلیل حذف ناگهانی ستون در قاب خمی می‌توان RBS، SP، WUF-B، SP، RBS می‌توان



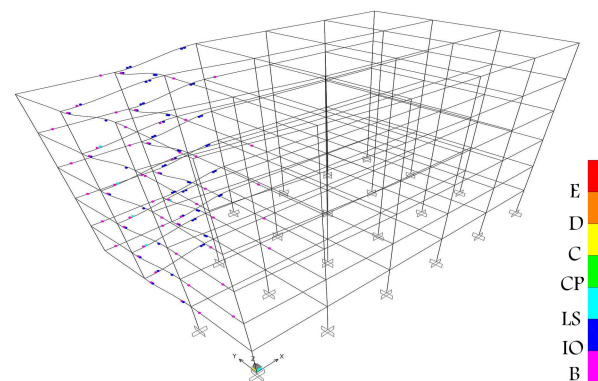
شکل ۱۳. جابه‌جایی قائم گره بالای ستون حذف شدهی B4 ساختمان‌های ۶ طبقه.



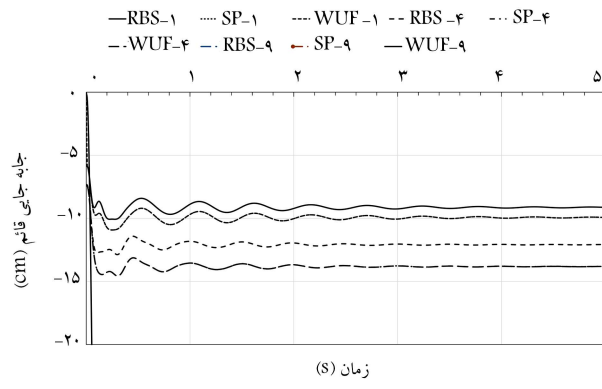
شکل ۱۴. جابه‌جایی قائم گره بالای ستون حذف شدهی B4 ساختمان‌های ۹ طبقه.



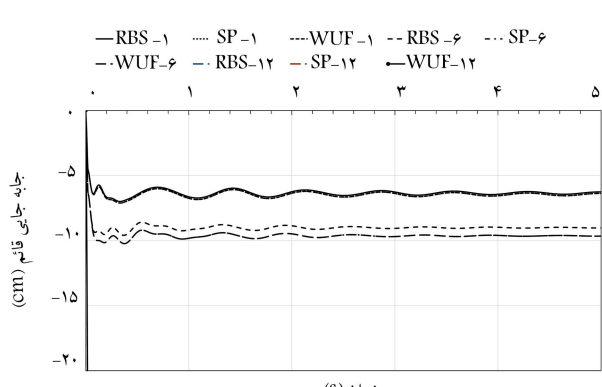
شکل ۱۵. جابه‌جایی قائم گره بالای ستون حذف شدهی B4 ساختمان‌های ۱۲ طبقه.



شکل ۱۶. توزیع مفاصل خمیری ساختمان ۶ طبقه با اتصال‌های ورق کناری برای سناریوی حذف ۳ ستون.



شکل ۱۱. جابه‌جایی قائم گره بالای ستون حذف شدهی A3 ساختمان‌های ۹ طبقه.



شکل ۱۲. جابه‌جایی قائم گره بالای ستون حذف شدهی A3 ساختمان‌های ۱۲ طبقه.

ظرفیت بیشتر قاب خمیشی با اتصال RBS را در مقابله با خرابی پیش‌روندۀ مشاهده کرد. دلیل ظرفیت بالاتر قاب خمیشی با اتصال RBS را می‌توان شکل بذریعی بالای اتصال RBS و در نتیجه اجازه تغییرشکل‌های خمیری زیاد و تقویت پدیده‌ی زنجیرگونه در سازه دانست.

۳.۴. حذف سه ستون

نتایج جابه‌جایی قائم گره بالای ستون حذف شدهی B4 براساس تحلیل دینامیکی در سناریوی حذف سه ستون در شکل‌های ۱۳ الی ۱۵ مشاهده می‌شود. از مقایسه‌ی جابه‌جایی قائم گره بالای ستون‌های حذف شده در ساختمان‌های ۹، ۶، و ۱۲ طبقه مشاهده می‌شود که مقادیر جابه‌جایی قائم گره‌ها در ساختمان ۱۲ طبقه کمتر از ساختمان‌های ۹ و ۶ طبقه است. بنابراین می‌توان نتیجه گرفت، ساختمان ۱۲ طبقه نسبت به ساختمان‌های ۹ و ۶ طبقه به دلیل درجات ناعیمنی بیشتر، مقادیر جابه‌جایی قائم کمتری از خود نشان می‌دهد. بررسی نمودارهای تحلیل نشان می‌دهد در سناریوی حذف ۳ ستون در طبقه‌ی آخر ساختمان‌های ۶ و ۹ طبقه، افزایش بزرگ شوند و سازه دچار ریش شود که نشان از اهمیت استفاده از اتصال مقاوم در مقابل خرابی پیش‌روندۀ در طبقات فوقانی دارد.

در شکل ۱۶، نیز به عنوان نمونه توزیع مفاصل خمیری تشکیل شده در ساختمان ۶ طبقه با اتصال‌های ورق کناری در سناریوی حذف ۳ ستون مشاهده می‌شود که مطابق آن تشکیل مفاصل خمیری در اطراف دهانه‌های ستون حذف شده تمرکز دارند.

۵. نتیجه‌گیری

در نوشتار حاضر، تأثیر ۳ نوع اتصال در عملکرد سیستم قاب خمشی در برابر خرابی پیش‌روندۀ به روش تحلیل دینامیکی غیرخطی بررسی شده و نتایج نشان داده است که اتصال با مقطع کاهاش‌بافته، مقاومت بالاتری نسبت به اتصال با ورق کناری و اتصال با ورق زیرسری و روسری دارد، به‌گونه‌ای که مقدار جابه‌جایی آن تا ۲۰٪ کمتر است. در مجموع ۸۱ تحلیلی که انجام شده است، ۱۹ تحلیل منجر به شکست سازه شده است، که حدود ۳۰٪ آن‌ها مربوط به اتصال کاهاش‌بافته، ۳٪ مربوط به اتصال با ورق کناری و ۳۷٪ مربوط به اتصال گیردار مستقیماً تقویت‌شده‌ی جوشی بوده است.

در حالت‌های متعدد، حذف ستون در سیستم قاب خمشی به همراه اتصال‌های RBS، WUF-B، SP و WUF-B مشاهده می‌شود که در حالت حذف ستون گوشۀ، مدل‌هایی که اتصال با مقطع کاهاش‌بافته دارند، تقاضای جابه‌جایی در آن‌ها کمتر از اتصال‌های SP، WUF-B است. با بررسی مقدار جابه‌جایی قائم کرده بالایی

پانوشت‌ها

1. general services administration
2. reduced beam section
3. improved WUF-Bolted web
4. side plate

(References) مراجع

1. NIST, "Best practices for reducing the potential for progressive collapse in buildings", U.S. Department of Commerce (2007).
2. Tsai, M.H. and Lin, B.H. "Investigation of progressive collapse resistance and inelastic response for an earthquake-resistant RC building subjected to column failure", *Engineering Structures*, **30**(12), pp. 3628-3619 (2008).
3. Kordbagh, B. and Mohammadi, M. "Influence of seismicity level and height of the building on progressive collapse resistance of steel frames", *The Structural Design Of Tall and Special Buildings*, **26**(2), p. e1305 (2017).
4. Tavakoli, H.R., Rashidi, A. and Akbarpoor, S. "Effect of lateral force resisting system on seismic performance of special steel frames under progressive collapse", *Sharif Civil Engineering*, **31.2**(4.2), pp. 101-108 (In Persian) (2016).
5. Sagiroglu, S. and Sasani, M. "Progressive collapse-resisting mechanisms of reinforced concrete structures and effects of initial damage locations", *Journal of Structural Engineering*, **140**(3), pp. 1-12 (2014).
6. Abbasnia, R. and Yoosefpoor, A. "Progressive collapse resistance of RC framed buildings with different ductilities", *Sharif Civil Engineering*, **32**(2), pp. 3-10 (In Persian) (2016).
7. Pachenari, A., Keramati, A. and Pachenari, Z. "Investigation of progressive collapse in intermediate RC frame structures", *The Structural Design of Tall and Special Buildings*, **22**(2), pp. 116-125 (2013).
8. Li, L., Wang, W., Chen, Y. and et al. "A basis for comparing progressive collapse resistance of moment frames and connections", *Journal of Constructional Steel Research*, **139**, pp. 1-5 (2017).
9. Jiang, J., Li, G.Q. and Usmani, A. "Effect of bracing systems on fire-Induced progressive collapse of steel structures using opensees", *Fire Technology*, **51**(5), pp. 1249-1273 (2015).
10. Stylianidis, P.M. and Nethercot, D.A. "Modelling of connection behaviour for progressive collapse analysis", *Journal of Constructional Steel Research*, **113**, pp. 169-184 (2015).
11. Khandelwal, K., El-Tawil, S., Kunzath, K. and et al. "Macromodel-based simulation of progressive collapse steel frame structures", *Journal of Structural Engineering (ASCE)*, **134**(7), pp. 1070-1078 (2008).
12. Khandelwal, K. and El-Tawil, S. "Collapse behavior of steel special moment resisting frame connections", *Journal of Structural Engineering*, **133**(3), pp. 646-655 (2007).
13. Faridmehr, I., Osman, M.H., Tahir, M.M. and et al. "Seismic and progressive collapse assessment of new proposed steel connection", *Advances in Structural Engineering*, **18**(3), pp. 439-452 (2016).
14. Karns, J.E. "Blast testing of steel frame assemblies to assess the implications of connection behavior on progressive collapse", *In Proceedings of ASCE 2006 Structures Congress*, St. Louis (2006).

15. Karns, J.E., Houghton, D.L., Hall, B.E. and et al. "Analytical verification of blast testing of steel frame moment connection assemblies", In Research Frontiers at Structures Congress, Long Beach, California, United States (2007).
16. Sun, R., Huang, Z. and Burgess, W. "Progressive collapse analysis of steel structures under fire conditions", *Engineering Structures*, **34**, pp. 400-413 (2012).
17. McConnell, J.R. and Brown, H. "Evaluation of progressive collapse alternate load path analyses in designing for blast resistance of steel columns", *Engineering Structures*, **33**(10), pp. 2899-2909 (2010).
18. Marjanishvili, S. and Agnew, E. "Comparison of various procedures for progressive collapse analysis", *Journal of Performance of Constructed Facilities*, **20**(4), pp. 365-374 (2006).
19. Liu, M. and Pirmoz, A. "Energy-based pulldown analysis for assessing the progressive collapse potential of steel frame buildings", *Engineering Structures*, **123**, pp. 372-378 (2016).
20. Chen, C.H., Zhu, Y.F., Yao Yao, Y. and et al. "Progressive collapse analysis of steel frame structure based on the energy principle", *Steel and Composite Structures*, **21**(3), pp. 553-571 (2016).
21. Shi, F., Wang, L. and Dong, Sh. "Progressive collapse assessment of the steel moment-frame with composite floor slabs based on membrane action and energy equilibrium", *The Open Construction and Building Technology Journal*, **11**(1), pp. 200-215 (2017).
22. Jiang, J. and Li, G. "Progressive collapse analysis of 3D steel frames with concrete slabs exposed to localized fire", *Engineering Structures*, **149**, pp. 21-34 (2017).
23. Arshian, A.H. and Morgenthal, G. "Three-dimensional progressive collapse analysis of reinforced concrete frame structures subjected to sequential column removal", *Engineering Structures*, **132**, pp. 87-97 (2017).
24. FEMA 350, "Recommended seismic design criteria for new steel moment-frame buildings", Federal Emergency Management Agency (2000).
25. FEMA 351, "Recommended seismic evaluation and upgrade criteria for existing welded steel moment-frame buildings", Federal Emergency Management Agency (2000).
26. FEMA 355D, "State of the art report on connection performance", Federal Emergency Management Agency (2000).
27. DOD, "Design of building to resist progressive collapse", Unified Facility Criteria, UFC 03-023-04, U.S, Department of Defense, Washington (2010).
28. Song, B.I. and Sezen, H. "Experimental and analytical progressive collapse assessment of a steel frame building", *Engineering Structures*, **56**, pp. 664-672 (2013).
29. SAP2000®Version 16.0. "Analysis reference manual", Computers and Structures Inc., Berkeley (CA, USA) (2013).
30. FEMA 356, "Prestandard and Commentary For The Seismic Rehabilitation of Buildings", Federal Emergency Management Agency (2000).
31. Alashker, Y., Li, H. and El-Tawil, S. "Approximations in progressive collapse modeling", *Journal of Engineering Structures*, **137**(9), pp. 914-924 (2011).
32. Ministry of Road & Urban Development, "National building regulations of Iran (Part 10)", Tehran (2013).
33. Ministry of Road & Urban Development, "Seismic resistant design of buildings code (Standard No. 2800)", Tehran: 4th Edition (2013).
34. Ministry of Road & Urban Development, "National building regulations of Iran (part 6)", Tehran (2013).
35. GSA, "Progressive collapse analysis and design guidelines for new federal office buildings and major modernization project", General Services Administration, Washington, D.C. (2013).
36. Kim, J. and Kim, T. "Assessment of progressive collapse-resisting capacity of steel moment frames", *Journal of Constructional Steel Research*, **65**(1), pp. 169-179 (2009).